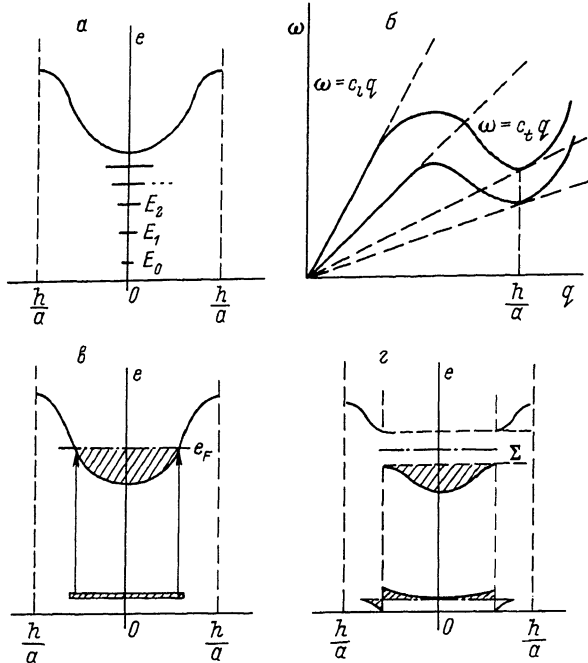


СИНЕРГЕТИКА И МЕХАНИКА ДЕФОРМИРУЕМОГО ТЕЛА

А.С. Б а л а н к и н

Любое физико-механическое воздействие выводит деформируемое тело из состояния термодинамического равновесия, т.к. вследствие сдвиговой устойчивости в негидростатически напряженном теле нарушается свойство аддитивности энергии и энтропии (последнее начинает зависеть от формы тела). Поэтому отклик твердого тела определяется процессами производства энтропии и перераспределения энергии как внутри тела, так и между деформируемым телом и окружающей средой. Становление синергетики деформируемого тела [1-6], изучающей процессы самоорганизации деформируемой среды, сопровождающиеся формированием иерархии диссипативных структур микро-, мезо- и макроскопических масштабов, обуславливает необходимость кардинального пересмотра ряда принципиальных положений классической механики деформируемого тела.

Построение физических моделей, адекватно отражающих макрокинетику деформации и разрушения, требует понимания динамики квантовых процессов перераспределения атомов кристалла в координатном и импульсном пространствах, лежащих в основе отклика деформируемого тела на внешнее воздействие. Характерный вид энергетического спектра атомов в кристаллической решетке показан на рисунке, а. В идеальном кристалле при $T=0K$ все атомы находятся на нижнем уровне, что не противоречит принципу запрета Паули, поскольку состояние атома определяется как импульсом, так и координатой, т.к. соотношение неопределенностей позволяет знать их одновременно (ширина уровня, очевидно, равна $\hbar^2/4ma^2$, где \hbar - постоянная Планка, m и a - масса атома и кратчайшее межатомное расстояние). При $T>0K$ часть атомов переходит на более высокие уровни, соответствующие разного рода квазичастичным (вакансии и т.п.) и коллективным (дислокации, дискинации и т.п. [1, 2]) возбуждениям структурного типа. Эти переходы сопровождаются излучением и поглощением коллективных возбуждений бозевского типа (флуктуации плотности и сдвига) с законом дисперсии вида рисунка, б. Взаимодействие возбуждений обуславливает расщепление энергетических уровней, ответственное за формирование зоны подвижности. Внешнее воздействие вызовет перераспределение атомов между состояниями, если уровень напряжений $\sigma > \sigma_{kp} = \rho \hbar^2 / 4m^2 a^2$ (ρ - плотность). Как видно из таблицы, $\sigma_{kp} \sim 10^{-5} G$ ($G = \rho c_t^2$ - модуль сдвига), что соответствует эксперименту [7]. При $\sigma > \sigma_{kp}$ отклик деформируемого тела определяется суперпозицией структурной (s) и конденсатной (k) составляющих, связанных с перемещением дефектов в полях G и с принудительной бозеконденсацией индуцированных флуктуаций плотности и сдвига. Например, пластическая деформация $\epsilon = \epsilon_k + \epsilon_s(t)$,



Энергетический спектр атомов в кристалле (изменения спектра в результате кинетических фазовых переходов при критических значениях и обусловливают изменения режимов деформации и зависимости скорости УВ от u). а) В состоянии термодинамического равновесия (кристаллической фазе соответствует состояние с пустой зоной подвижности, жидкой – состояние, в котором уровень Ферми находится в зоне подвижности). б) Спектр возбуждений бозевского типа (для ГЦК структуры $a=a_0/\sqrt{2}$, ОЦК: $a=\sqrt{3}a_0/2$, решетки алмаза $a=0.43a_0$; a_0 – параметр решетки. При высокоскоростной деформации конденсируется обобщенный импульс, а в пластической волне – обобщенная координата индуцированных флукутаций сдвига). в) При $c_k < u < c_T$ (различие поведения хрупких и пластичных тел подобно различию поведения сверхпроводников первого и второго рода в магнитном поле $H_{c_1} < H < H_{c_2}$). г) При $c_T < u < c_\zeta$ (c_T может быть определено и по соотношению $H_0 = c_T c_\zeta$, см. таблицу. Если $Re_{kp} > 1/\sqrt{2}$, то во фронте УВ вещество переходит в жидкую фазу, при $Re_{kp} < 1/\sqrt{2}$ во фронте УВ происходит диссоциативное разрушение, рассмотренное в [12]).

Таблица (исходные данные a_0, m, ρ, c_z и c_x взяты из [15])

	Cu	Ag	Au	Al	Алмаз	Si	Стекло
Re_{kp} (2)	0.93	0.85	1.01	1.14	0.54	0.52	0.58
$(\xi_{kp}/G) \cdot 10^5$	2.6	1.3	0.8	6.4	7.8	1.2	11.5
ξ_{kp}/E 1)	0.14	0.14	0.18	0.17	0.13	0.13	0.15
$\zeta_0, 10^{-7}$ м (2)	0.9	1.6	2.1	0.7	0.35	0.85	-
$\zeta_0, 10^{-4}$ м ² /с (7)	2.3	2.8	2.5	2.3	6.3	4.7	-
$c_a,$	Расчет (1)	13	6.4	3.5	26	109	30.4
m/c	Эксп. [9, 10]	18.8	6.0	--	23	-	-
$c_k,$	Расчет (4)	172	106	66	290	1160	410
m/c	Эксп. [16]	180	100	-	300	-	(360) ⁷ (450) ⁷
c_t	Расчет (6)	910	630	470	1400	4580	1940
m/c	Эксп. 2) [17, 18]	1000	-	-	1400	5000 ⁶	2000 ⁶) 1650
$P_y,$	Расчет (3), (4)	0.6	0.26	0.23	0.48	73	8.6
$\Gamma/\Pi\alpha$	Эксп. [10, 17]	0.8	0.24	-	0.41	-	7.6
$H_0,$ кДж г^{-1}	$H_0 = c_t c_z$ 3) Эксп. [19]	4.4	2.4	1.57	9.5	83	17.6
	4) Эксп. [20]	5.3	2.6	1.55	11.9	-	15.8
		5.3	2.4	-	8.2	80	16.9
							9.7

- 1) Теоретическая (предельная) прочность $\sigma_{kp} = 0.5 c_t c_z$ (E – модуль Юнга).
 2) Расчет по (8). 3) Термопластика атомизации. 4) Энергия активации термофлюктуационного разрушения. 5) Расчет по формулам $c_t = H_0/c_z$, $c_k = c_t^2/c_z$, $c_a = c_k^2/c_t$.
 6) Предельная скорость роста трещин. 7) Расчет по $P_y^{эксп} = \rho c_k c_z$ ($c_k = P_y^{эксп}/\rho c_z$).

что соответствует принятой экспериментаторами [8] схеме деления на внезапную и временную составляющие ξ . Соответственно могут реализоваться структурный (например, дислокационный), конденсатный (дилатонный [5]) и смешанный механизмы образования трещин.

Количественное рассмотрение проведем на примере отклика твердого тела на ударное воздействие, придающее атомам макроскопическую массовую скорость u . Если

$$u < c_a, \text{ где } c_a = \frac{\hbar}{2ma}, \quad (1)$$

то по телу пойдет упругая волна со скоростью c_z .

При $u > c_a$ формируется ударная волна (УВ). Макроскопическая структура УВ хорошо исследована в рамках феноменологических моделей [9, 10]. Здесь мы получим микроскопические выражения для параметров, определяющих кинетику различных режимов высокоскоростной деформации твердого тела и распространения УВ. Характер отклика при $u > c_a$ определяется параметром

$$Re_{kp} = \frac{\zeta_0}{\xi_0}, \quad \zeta_0 = 2a\Lambda^2, \quad \xi_0 = \frac{2ac_z^2}{\Lambda^{-2}H_0}, \quad (2)$$

где $\Lambda = \sqrt{c_t/c_a}$ – аналог параметра Де-Бура (см. [11]), H_0 – энергия связи атомов. В пластичных материалах ($Re_{kp} > 1/\sqrt{2}$) в упругом предвестнике $\mu_0 = c_a$, а предел упругости Гюгонио равен

$$P_y = \rho c_a c_z, \quad (3)$$

а в хрупких телах ($Re_{kp} < 1/\sqrt{2}$)

$$P_y = \rho c_k c_z, \quad c_k = \sqrt{c_a c_t}. \quad (4)$$

При $\mu > c_k$ кристаллическая решетка теряет устойчивость, и кристаллы переходит в когерентное неравновесное состояние (см. рисунок, в). В результате при

$$c_k < \mu < c_T, \quad \text{где} \quad c_T = \sqrt{c_k c_z}, \quad (5)$$

хрупкие тела испытывают множественное разрушение, феноменологически исследованное в [12], а пластичные кристаллические материалы деформируются в гидродинамическом режиме. Подчеркнем, что режим (5) принципиально отличен от рассмотренного в [6] стационарного гидродинамического режима деформации твердых тел, реализуемого при

$$c_T < \mu < c_z. \quad (6)$$

Установление стационарного состояния для режима (5) невозможно, т.к. в этом случае источник и сток разнесены в энергетическом пространстве ($\mathcal{E}_{ust} \leq \mu^2 < c_T^2 \leq \mathcal{E}_{ct}$).

При $\mu > c_T$ в зоне подвижности открывается индицированная энергетическая щель (см. рисунок, г). Поэтому как пластичные, так и хрупкие материалы в режиме (6) ведут себя подобно квантовым кристаллам. Причем, если $Re = \frac{\mu d}{\gamma} < Re_{kp}$, где d – характерный размер течения, а вязкость

$$\gamma = c_t^2 \bar{c}_p = 2 a c_t \Lambda^2, \quad (7)$$

то деформация носит ламинарный, а при $Re > Re_{kp}$ – турбулентный характер. Это же относится и к режиму (5). Скорость проникания (μ) удлиненного бойка, деформируемого, как и преграда, в режиме (6), при $c_T < \mu < c_z$ определяется соотношением

$$\frac{\mu}{\mu_0} = \frac{\alpha \lambda}{1 + \alpha \lambda}, \quad \lambda = \sqrt{\frac{\rho_0(1+2R_{kp0}^{-1})}{\rho_n(1+2R_{kp,n}^{-1})}}, \quad \alpha = \left[1 + \frac{\rho_n c_{Tn}^2 - \rho_0 c_{T0}^2}{\rho_n(1+2R_{kp,n}^{-1})\mu^2} \right]^{-1/2}. \quad (8)$$

Здесь индекс „0“ относится к бойку, а „н“ – к преграде.

Как видно из таблицы, результаты расчетов по (1)–(8) превосходно согласуются с экспериментальными данными.

В случае $u > c_l$ и $Re_{kp} > \frac{1}{\sqrt{2}}$ во фронте УВ вещество перейдет

в жидкую fazu (при $u < c_l$ вещество плавится только в волне разгрузки) в результате туннельного плавления в резонансном градиенте давления (эффект подобен рассмотренному в [13] гигантскому стимулированию туннельных процессов резонансным электромагнитным полем). Этот вывод подтверждается экспериментами [14].

Рассмотренный подход позволяет получить микроскопические выражения для параметров предложенных в [3] модели сверхпластичности и в [4] модели откольных явлений, а также, по-видимому, и в других случаях.

Список литературы

- [1] Панин В.Е., Лихачев В.А., Гриняев Ю.В. Структурные уровни деформации твердых тел. М.: Наука, 1985. 230 с.
- [2] Кадич А., Эделен Д. Калибровочная теория дислокаций. М.: Мир, 1987.
- [3] Рыбин В.В., Перевезенцев В.Н. // Письма в ЖТФ. 1981. Т. 7. № 19. С. 1203.
- [4] Мещеряков В.А. // ЖТФ. 1988. Т. 58. № 3. С. 628-632.
- [5] Петров В.А. // ФТТ. 1983. Т. 20. № 10. С. 3124-3127.
- [6] Баланкин А.С. // Письма в ЖТФ. 1988. Т. 14. № 13. С. 1231-1234.
- [7] Физическое металловедение / Под ред. Р. Кана. М.: Мир, 1968. В. 3. С. 216-247.
- [8] Лепин Г.Ф. Ползучесть металлов и критерии жаропрочности. М.: Металлургия, 1976. 344 с.
- [9] Козин Н.С., Кузьмина Н.К. // ПМТФ. 1987. № 4. С. 129-138.
- [10] Альтшуллер Л.В., Чекин Б.С. // ПМТФ. 1987. № 4. С. 119-128.
- [11] Коcевич А.М. Физическая механика реальных кристаллов. Киев: Наукова думка, 1981. 328 с.
- [12] Баланкин А.С. // Письма в ЖТФ. Т. 14. № 13. С. 1221-1226.
- [13] Ивлев Б.И. // Письма в ЖЭТФ. 1985. Т. 41. № 3. С. 116-118.
- [14] Чекин Б.С. // ПМТФ. 1978. № 2. С. 89-95.
- [15] Францевич И.Н., Воронов Ф.Ф., Бакута С.А. Упругие постоянные и модули упругости металлов и неметаллов. Киев: Наукова думка, 1982. 296 с.
- [16] Хлудкова А.Н. // Изв. ВУЗ, Физика. 1978. № 11. С. 137-139.
- [17] Физика взрыва // Под ред. К.П. Станюковича. М.: Наука, 1975. 704 с.

- [18] Златин Н.А., Кожушко А.А., Рыкова И.И. //
Письма в ЖТФ. 1988. Т. 14. № 16. С. 1498–1500.
- [19] Термодинамические свойства индивидуальных веществ. Справочник в 4-х томах, М.: Наука, 1982.
- [20] Регель В.Р., Слуцкер А.И., Томашевский Э.Е. Кинетическая природа прочности твердых тел. М.: Наука, 1974. 520 с.

Поступило в Редакцию
10 мая 1989 г.

Письма в ЖТФ, том 15, вып. 22

26 ноября 1989 г.

12

СПОНТАННЫЕ МАГНИТНЫЕ ПОЛЯ,
ВОЗНИКАЮЩИЕ ПРИ ЭЛЕКТРОННО-ЛУЧЕВОЙ СВАРКЕ

К.С. Акопьянц, С.М. Левитский,
О.К. Назаренко, В.Ю. Непорожний,
Г.А. Шилов

Существование неконтролируемых магнитных полей в непосредственной близости от пучка электронов при электронно-лучевой сварке (ЭЛС) деформирует сечение пучка, нарушая его фокусировку, и, главное, искривляет ось пучка, снижая тем самым точность ее совмещения со стыком свариваемых кромок.

Вопросам предотвращения остаточной намагниченности свариваемого изделия и сборочно-сварочной оснастки, а также взаимодействию пучка с током термо-ЭДС при сварке разнородных материалов уделено достаточное внимание [1], эти явления в полной мере учитываются в практике ЭЛС.

Однако даже при сварке однородных материалов нами было обнаружено в окрестности сварочной ванны самопроизвольное возникновение магнитных полей величиной до одного и более гаусс, существенно (на порядок) превосходящих магнитные поля, которые могут быть обусловлены самим током пучка. Эти магнитные поля создают также и остаточное намагничивание, что заметно затрудняет точное наложение повторных (ремонтных) швов на ранее выполненный шов.

Для изучения свойств и природы таких спонтанных магнитных полей нами и были предприняты описанные ниже эксперименты.

Измерения проводились в промышленной установке для ЭЛС, камера которой изготовлена из стали ст. 3. Магнитные поля измерялись с помощью феррозонда [2] чувствительностью 100 мВ/Гс, окруженного водоохлаждаемой медной рубашкой с целью защиты от теплового излучения сварочной ванны. Наружные габариты этой конструкции: ϕ 40 мм, высота 30 мм при наружных габаритах самого феррозонда ϕ 20 мм, высоте 15 мм. Расстояния от центра из-